

IMAGEN B6-1↑

a)-d) Primera y segunda fila. "Clusters" de la predicción D+5 de 850 hPa, definidos reduciendo la varianza de la población usando un algoritmo jerárquico. La probabilidad asociada a cada "cluster" puede obtenerse de la población del "cluster" (entre paréntesis en la esquina superior derecha de cada mapa). 15, 14, 4 y 1 respectivamente. El error cuadrático medio de cada "cluster" se muestra en la esquina inferior derecha de cada diagrama. Las líneas rectas de cada mapa muestran los contornos de la zona elegida para hacer el agrupamiento de la población ("clustering"). En la última fila aparecen la predicción de control y el análisis verificante.

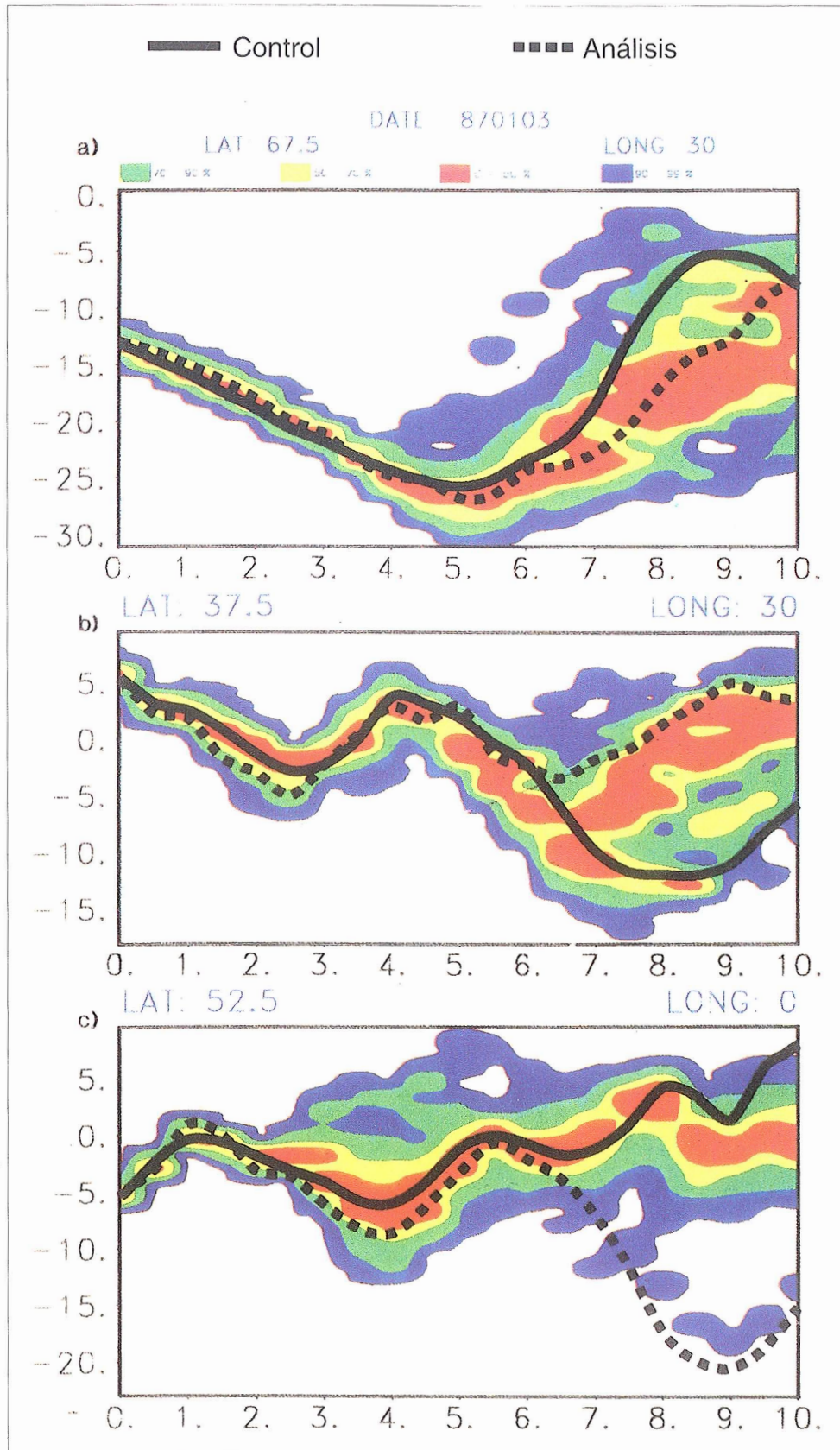


IMAGEN B6-2 ↑

a)-c) Intervalos de confianza para la "predicción mediante poblaciones" de la temperatura de 850 hPa del 3 de enero de 1987 a las 12 UTC. Se representan los valores para tres puntos de rejilla y para todo el período de predicción (10 días). Los contornos son del 99%, 90%, 70% y 50%.

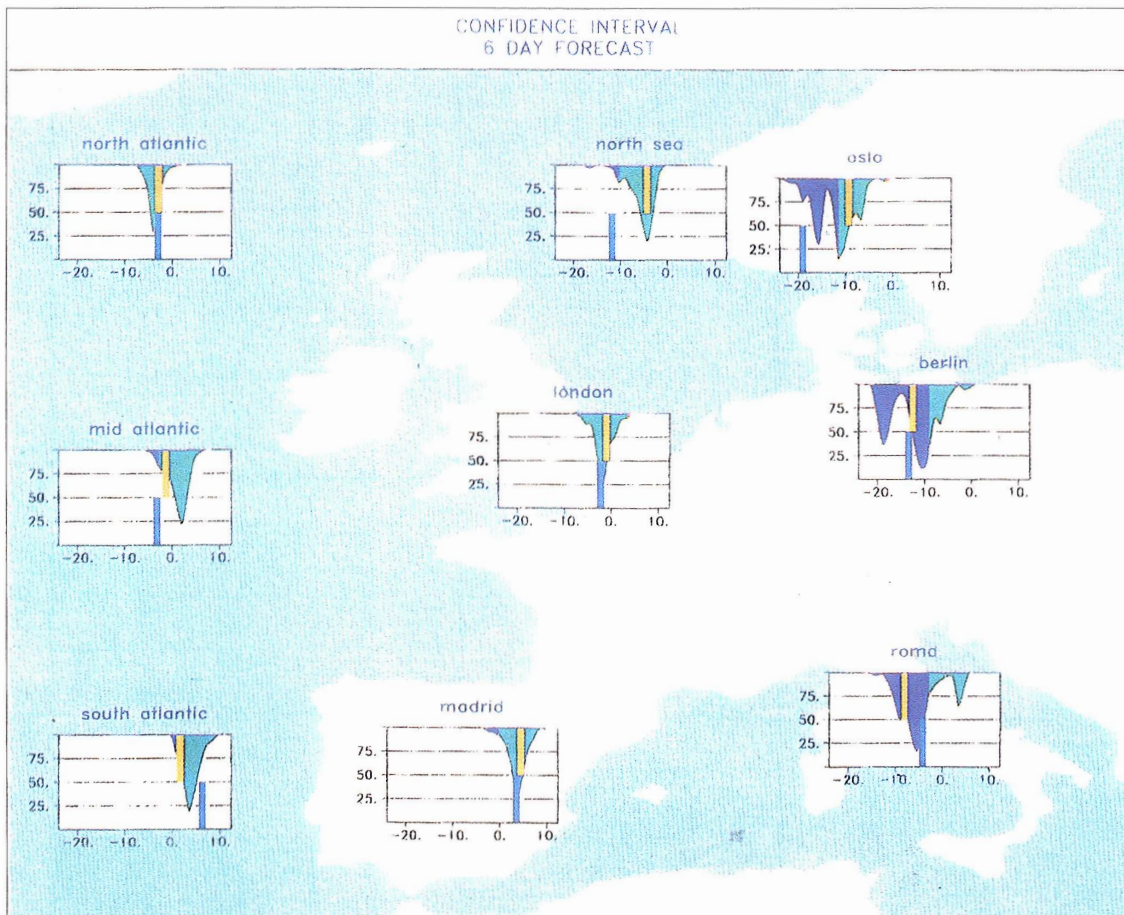


IMAGEN B6-3 ↑

Intervalos de confianza para la "predicción mediante poblaciones" de la temperatura de 850 hPa del 3 de enero de 1987 a las 12 UTC en varias ciudades y puntos del océano. El sombreado verde significa temperaturas dentro de un intervalo de 5° alrededor de la climatológica, azul y rojo son más fríos y más cálidos que ésta, respectivamente.

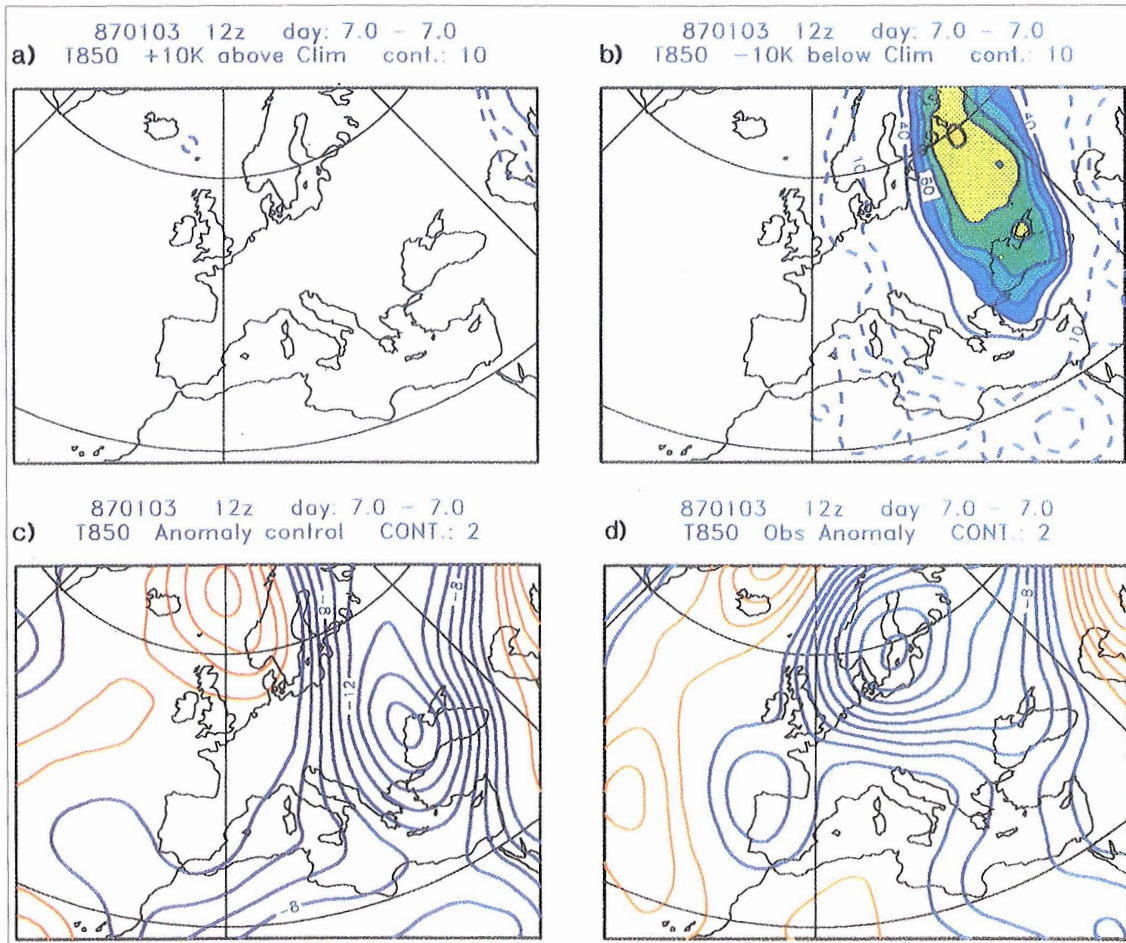


IMAGEN B6-4 ↑

Predicción D+3 de la temperatura de 850 hPa del día 3 de enero de 1987 a las 12Z:

- Probabilidad de que las temperaturas estén al menos  $10^{\circ}$  por encima de la climatológica
- Probabilidad de que las temperaturas estén al menos  $10^{\circ}$  por debajo de la climatológica
- La anomalía de la predicción de control
- La anomalía observada